



Laboratorium Badań Środowiskowych
ul. Kasprzaka 18/20
01-211 Warszawa
e-mail: Laboratorium@networks.pl



AB 419

S P R A W O Z D A N I E 653/2021/OS
Z POMIARÓW PÓL ELEKTROMAGNETYCZNYCH
WYKONANYCH DLA POTRZEB OCHRONY ŚRODOWISKA

Badany obiekt: Instalacja radiokomunikacyjna Orange Polska S.A.
Numer i nazwa: 4597 (77025N!) JAGODNO TPW (PWR_WROCLAW_BUFOROWA)
Adres: WROCŁAW, BUFOROWA 4, Powiat m. Wrocław, WOJ. DOLNOŚLĄSKIE

Data wykonania pomiarów: 2021-02-04

Sprawozdanie z badań bez pisemnej zgody laboratorium nie może być powielane inaczej niż w całości.
Wynik przedstawione w niniejszym sprawozdaniu odnoszą się wyłącznie do badanego obiektu i do warunków i konfiguracji urządzeń w dniu wykonywania pomiarów.

1. Właściciel badanego obiektu:

Orange Polska S.A., Al. Jerozolimskie 160, 02-326 Warszawa

2. Zleceniodawca:

Orange Polska S.A., Al. Jerozolimskie 160, 02-326 Warszawa

3. Przedstawiciel zleceniodawcy:

NetWorkS! Sp.z o.o.

4. Zakres zlecenia:

Wykonanie badania i opracowanie sprawozdania z pomiarów natężenia pola elektrycznego i pola magnetycznego dla instalacji radiokomunikacyjnej Orange Polska S.A. zlokalizowanej w miejscowości WROCLAW, BUFOROWA 4.

5. Cel zlecenia:

Wykonanie pomiarów pól elektromagnetycznych w otoczeniu instalacji radiokomunikacyjnej 4597 (77025N!) JAGODNO TPW (PWR_WROCLAW_BUFOROWA) w odniesieniu do wymagań określonych w *Rozporządzeniu Ministra Klimatu z dnia 17 lutego 2020 r. w sprawie sposobów sprawdzania dotrzymania dopuszczalnych poziomów pól elektromagnetycznych w środowisku (Dz. U. 2020, poz. 258)*.

6. Pomiary zostały wykonane przez:

Semrau Piotr
Pawlak Ariel

7. Informacje o źródłach pól elektromagnetycznych

7.1. Sposób identyfikacji badanych źródeł pól elektromagnetycznych

Identyfikacji źródeł i parametrów technicznych dokonano na podstawie analizy dokumentacji dotyczącej zlecenia oraz obserwacji miejsca wykonywania badań.

7.2. Opis miejsca zainstalowania anten i urządzeń technicznych. Opis obiektu badań i jego otoczenia

Instalacja radiokomunikacyjna zlokalizowana jest na terenie ogrodzonym. Anteny zawieszono na wieży kratowej. Urządzenia sterujące oraz zasilające zainstalowano w kontenerze u podstawy wieży. Wokół instalacji znajdują się tereny przemysłowe.

Instalacja radiokomunikacyjna jest obiektem bezobsługowym. Okresowe stanowiska pracy związane są z prowadzonymi w zależności od potrzeb konserwacjami, przeglądami, strojeniem i naprawami.

7.3. Parametry techniczne źródła pola elektromagnetycznego

Dane przedstawiające maksymalne parametry pracy instalacji przekazane przez zleceniodawcę:

Parametry systemu nadawczo-odbiorczego:

Charakterystyka promieniowania		kierunkowa					
Rzeczywisty czas pracy [h/dobę]		24					
Warunki pracy		znamionowe					
Rodzaj wytwarzanego pola		stacjonarne					
Lp.	Częstotliwość lub zakresy częstotliwości pracy [MHz]	Typ/producent anteny	liczba anten	Azymut [°]	kąt pochylenia* [°]	Wysokość środka elektrycznego anteny [m n.p.t.]	Równoważna moc promieniowana izotropowo (EIRP) [W]
1	2100/ 2100	7760.00 POWERWAVE	1	150	6/ 6	29	6282
2	1800/ 900/ 900	7752.00 POWERWAVE	1	150	6/ 7/ 7	29	8775
3	800	ATR4518R6v06 Huawei	1	150	6	29	2355
4	2100/ 2100	7760.00 POWERWAVE	1	225	5/ 5	29	6282
5	900/ 1800/ 900	7752.00 POWERWAVE	1	225	6/ 5/ 6	29	8775
6	800	ATR4518R6v06 Huawei	1	225	6	29	2355
7	2100/ 2100	7760.00 POWERWAVE	1	315	6/ 6	29	6282
8	1800/ 900/ 900	7752.00 POWERWAVE	1	315	6/ 6/ 6	29	8775
9	800	ATR4518R6v06 Huawei	1	315	6	29	2355

* wskazane wartości kąta pochylenia anten, zgodnie z informacją uzyskaną od zleceniodawcy, są wartościami stałymi

Parametry radiolinii:

Charakterystyka promieniowania		kierunkowa					
Rzeczywisty czas pracy [h/dobę]		24					
Warunki pracy		znamionowe					
Rodzaj wytwarzanego pola		stacjonarne					
Lp.	Linia radiowa			Antena			
	Typ/ Producent	Częstotliwość pracy [GHz]	Równoważna moc promieniowana izotropowo (EIRP) [W]*	Typ/ producent	Średnica anteny [m]	Azymut [°]	Wysokość zainstalowania n.p.t [m]
1.	RTN XMC-2 38G/7MHz Huawei	38	51.3	VHLP1-38- HW1A Andrew	0.3	30	49
2.	RTN XMC-2 23G/2+0/56MHz Huawei	23	1482.6	VHLPX1-23- HW1 Andrew	0.3	145	49
3.	RTN XMC-2 23G/2+0/56MHz Huawei	23	1482.6	VHLPX1-23- HW1 Andrew	0.3	180	49.5
4.	RTN XMC-2 15G/2+0/56MHz Huawei	15	12913.1	VHLPX4-15 Andrew	1.2	188	59.5
5.	RTN XMC-2 23G/2+0/56MHz Huawei	23	1482.6	VHLPX1-23- HW1 Andrew	0.3	238	49

Sprawozdanie z badań bez pisemnej zgody laboratorium nie może być powielane inaczej niż w całości.
Wynik przedstawione w niniejszym sprawozdaniu odnoszą się wyłącznie do badanego obiektu i do warunków i konfiguracji urządzeń w dniu wykonywania pomiarów.

Charakterystyka promieniowania			kierunkowa				
Rzeczywisty czas pracy [h/dobę]			24				
Warunki pracy			znamionowe				
Rodzaj wytwarzanego pola			stacjonarne				
Lp.	Linia radiowa			Antena			
	Typ/ Producent	Częstotliwość pracy [GHz]	Równoważna moc promieniowana izotropowo (EIRP) [W]*	Typ/ producent	Średnica anteny [m]	Azymut [°]	Wysokość zainstalowania n.p.t [m]
6.	RTN 380 R2 70/80GHz 250MHz Huawei	80	1778.3	VHLP1-80 Andrew	0.3	358	49
7.	RTN 380AX 70/80GHz 250MHz Huawei	80	1412.5	VHLP1-80 Andrew	0.3	359	49

7.4 Inne źródła pól elektromagnetycznych

Na podstawie informacji otrzymanych od użytkownika oraz obserwacji otoczenia miejsca wykonywania pomiarów oraz dokumentacji nie stwierdzono występowania innych źródeł promieniowania elektromagnetycznego, które w zakresie badanych częstotliwości mogą bezpośrednio wpływać na wynik wartości mierzonej.

8. Opis pomiarów

8.1. Metoda badań

Zgodna z rozporządzeniem Ministra Klimatu z dnia 17 lutego 2020 r. w sprawie sposobów sprawdzania dotrzymania dopuszczalnych poziomów pól elektromagnetycznych w środowisku (Dz. U. 2020, poz. 258), określona w pkt 25 ppkt 1 załącznika do niniejszego rozporządzenia.

Zgodnie z art. 122a ust. 1b ustawy Prawo Ochrony Środowiska, w przypadku wprowadzenia na części albo całym terytorium Rzeczypospolitej Polskiej stanu nadzwyczajnego, o którym mowa w art. 228 ust. 1 Konstytucji Rzeczypospolitej Polskiej z dnia 2 kwietnia 1997 r. (Dz. U. poz. 483, z 2001 r. poz. 319, z 2006 r. poz. 1471 oraz z 2009 r. poz. 946), lub stanu zagrożenia epidemicznego lub stanu epidemii, o których mowa w art. 46 ustawy z dnia 5 grudnia 2008 r. o zapobieganiu oraz zwalczaniu zakażeń i chorób zakaźnych u ludzi (Dz. U. z 2019 r. poz. 1239, z późn. zm.8)), pomiarów , nie przeprowadza się w lokalach mieszkalnych oraz w lokalach użytkowych zlokalizowanych na terytorium objętym stanem nadzwyczajnym, stanem zagrożenia epidemicznego lub stanem epidemii.

W związku z obecnie obowiązującym stanem epidemii, pomiarów nie wykonano w lokalach mieszkalnych oraz w lokalach użytkowych zlokalizowanych w obszarze pomiarowym przedmiotowej instalacji radiokomunikacyjnej.

8.2. Termin pomiarów i warunki środowiskowe

Podczas wykonywania pomiarów pól elektromagnetycznych nie występowały opady atmosferyczne. Wyniki pomiaru parametrów pogodowych przedstawia poniższa tabela:

Data [rrrr-mm-dd]	Godzina [hh:mm-hh:mm]	Warunki środowiskowe			
		Temperatura [°C]		Wilgotność względna [%]	
2021-02-04	11:45-13:00	Przed pomiarem	Po pomiarach	Przed pomiarem	Po pomiarach
		0.4	0.4	68.8	68.2

8.3. Warunki pracy urządzeń nadawczych

Podczas pomiarów zostały uwzględnione poprawki pomiarowe przekazane przez zleceniodawcę, umożliwiające uwzględnienie maksymalnych parametrów pracy instalacji zgodnie z pkt 7 załącznika do Rozporządzeniem Ministra Klimatu z dnia 17 lutego 2020 r. w sprawie sposobów sprawdzania dotrzymania dopuszczalnych poziomów pól elektromagnetycznych w środowisku (Dz. U. 2020, poz. 258).

Sprawozdanie z badań bez pisemnej zgody laboratorium nie może być powielane inaczej niż w całości.
Wynik przedstawione w niniejszym sprawozdaniu odnoszą się wyłącznie do badanego obiektu i do warunków i konfiguracji urządzeń w dniu wykonywania pomiarów.

8.4. Wyposażenie pomiarowe

Zestaw pomiarowy służący do pomiaru natężenia składowej elektrycznej pola elektromagnetycznego złożony z szerokopasmowego miernika i sondy pomiarowej:

Oznaczenie miernika	Producent	Model	Numer fabryczny	Oznaczenie sondy	Producent	Model	Numer fabryczny
M-06	Narda Safety Test Solution	Miernik pól elektromagnetycznych NBM-550	F-0208	S-05	Narda Safety Test Solution	Sonda EF-6092	A-0055

Mierniki natężenia pola elektromagnetycznego podlegają okresowemu sprawdzeniu zgodnie z procedurą wewnętrzną P-03 i PB-01. Świadectwo wzorcowania zestawu pomiarowego z dnia 23 marca 2020 o numerze LWiMP/W/094/20 wydane przez Laboratorium Wzorców i Metrologii Pola Elektromagnetycznego (LWiMP) Politechniki Wrocławskiej.
Data ważności świadectwa wzorcowania: 23 marca 2022 (zgodnie z procedurą wewnętrzną P-03).

Oznaczenie miernika	Producent	Model	Numer fabryczny	Oznaczenie sondy	Producent	Model	Numer fabryczny
M-06	Narda Safety Test Solution	Miernik pól elektromagnetycznych NBM-550	F-0208	S-25	Narda Safety Test Solution	Sonda EF-0391	D-1518

Mierniki natężenia pola elektromagnetycznego podlegają okresowemu sprawdzeniu zgodnie z procedurą wewnętrzną P-03 i PB-01. Świadectwo wzorcowania zestawu pomiarowego z dnia 9 grudnia 2019 o numerze LWiMP/W/345/2019 wydane przez Laboratorium Wzorców i Metrologii Pola Elektromagnetycznego (LWiMP) Politechniki Wrocławskiej.
Data ważności świadectwa wzorcowania: 9 grudnia 2021 (zgodnie z procedurą wewnętrzną P-03).

Termohigrometr:

Oznaczenie:	TH-14	Producent:	AZ INSTRUMENT CORP	Model:	Termohigrometr AZ8706
-------------	-------	------------	--------------------	--------	-----------------------

Data ważności świadectwa wzorcowania: 30 grudnia 2022 (zgodnie z procedurą wewnętrzną P-03).

Dalmierz:

Oznaczenie	Producent	Typ	Numer seryjny	Nr świadectwa wzorcowania	Data świadectwa wzorcowania
D-01	Leica	Dalmierz laserowy	0843810238	1146.7-M11-4180-396/15	8 kwietnia 2015

Data ważności świadectwa wzorcowania: 8 kwietnia 2025 (zgodnie z procedurą wewnętrzną P-03).

9. Wyniki pomiarów

Pole elektryczne

Nr pionu	Opis umiejscowienia pionu (punktu) pomiarowego	Wysokość pomiaru [m]	Zmierzona wartość natężenia pola elektrycznego E [V/m] ^{1,5}			Wartość natężenia pola elektrycznego po uwzględnieniu poprawek pomiarowych powiększona o niepewność pomiaru ⁴ E [V/m]	Wskaźnikowa wartość poziomu emisji pól elektromagnetycznych WME ³	Współrzędne geograficzne pionu (punktu) pomiarowego ²
			Sonda S-05	Sonda S-25	SUMA			
1	GKP 30°, 5m od trzonu wieży	0,3-2,0	<1,0*	<1,0*	<1,0*	2.1	0.08	51°4'15,4" 17°3'48,8"
2	GKP 30°, 25m od trzonu wieży	0,3-2,0	<1,0*	<1,0*	<1,0*	2.1	0.08	51°4'15,9" 17°3'49,3"
3	GKP 145 i 150°, 5m od trzonu wieży	0,3-2,0	<1,0*	<1,0*	<1,0*	2.1	0.08	51°4'15,1" 17°3'48,7"
4	GKP 145 i 150°, 25m od trzonu wieży	0,3-2,0	<1,0*	<1,0*	<1,0*	2.1	0.08	51°4'14,6" 17°3'49,2"
5	GKP 180 i 188°, 5m od trzonu wieży	0,3-2,0	<1,0*	<1,0*	<1,0*	2.1	0.08	51°4'15,1" 17°3'48,6"
6	GKP 180°, 20m od trzonu wieży	0,3-2,0	<1,0*	<1,0*	<1,0*	2.1	0.08	51°4'14,5" 17°3'48,6"
7	GKP 180°, 40m od trzonu wieży	0,3-2,0	<1,0*	<1,0*	<1,0*	2.1	0.08	51°4'13,8" 17°3'48,6"
8	GKP 188°, 20m od trzonu wieży	0,3-2,0	<1,0*	<1,0*	<1,0*	2.1	0.08	51°4'14,5" 17°3'48,5"
9	GKP 188°, 40m od trzonu wieży	0,3-2,0	<1,0*	<1,0*	<1,0*	2.1	0.08	51°4'13,8" 17°3'48,3"

Sprawozdanie z badań bez pisemnej zgody laboratorium nie może być powielane inaczej niż w całości.
Wynik przedstawione w niniejszym sprawozdaniu odnoszą się wyłącznie do badanego obiektu i do warunków i konfiguracji urządzeń w dniu wykonywania pomiarów.

10	GKP 188°, 60m od trzonu wieży	0,3-2,0	<1,0*	<1,0*	<1,0*	2.1	0.08	51°4'13,2" 17°3'48,2"
11	GKP 188°, 80m od trzonu wieży	0,3-2,0	<1,0*	<1,0*	<1,0*	2.1	0.08	51°4'12,5" 17°3'48,0"
12	GKP 225 i 238°, 5m od trzonu wieży	0,3-2,0	<1,0*	<1,0*	<1,0*	2.1	0.08	51°4'15,1" 17°3'48,5"
13	GKP 225°, 25m od trzonu wieży	0,3-2,0	<1,0*	<1,0*	<1,0*	2.1	0.08	51°4'14,7" 17°3'47,8"
14	GKP 225°, 45m od trzonu wieży	0,3-2,0	<1,0*	<1,0*	<1,0*	2.1	0.08	51°4'14,2" 17°3'47,1"
15	GKP 225°, 65m od trzonu wieży	0,3-2,0	<1,0*	<1,0*	<1,0*	2.1	0.08	51°4'13,7" 17°3'46,3"
16	GKP 225°, 85m od trzonu wieży	0,3-2,0	<1,0*	<1,0*	<1,0*	2.1	0.08	51°4'13,3" 17°3'45,6"
17	GKP 238°, 25m od trzonu wieży	0,3-2,0	<1,0*	<1,0*	<1,0*	2.1	0.08	51°4'14,8" 17°3'47,7"
18	GKP 238°, 45m od trzonu wieży	0,3-2,0	<1,0*	<1,0*	<1,0*	2.1	0.08	51°4'14,5" 17°3'46,8"
19	GKP 315°, 5m od trzonu wieży	0,3-2,0	<1,0*	<1,0*	<1,0*	2.1	0.08	51°4'15,3" 17°3'48,4"
20	GKP 315°, 25m od trzonu wieży	0,3-2,0	<1,0*	<1,0*	<1,0*	2.1	0.08	51°4'15,8" 17°3'47,7"
21	GKP 315°, 45m od trzonu wieży	0,3-2,0	<1,0*	<1,0*	<1,0*	2.1	0.08	51°4'16,2" 17°3'47,0"
22	GKP 315°, 65m od trzonu wieży	0,3-2,0	<1,0*	<1,0*	<1,0*	2.1	0.08	51°4'16,7" 17°3'46,2"
23	GKP 315°, 85m od trzonu wieży	0,3-2,0	<1,0*	<1,0*	<1,0*	2.1	0.08	51°4'17,1" 17°3'45,5"
24	GKP 358 i 359°, 5m od trzonu wieży	0,3-2,0	<2.8*	<1,0*	<2.8*	6	0.21	51°4'15,4" 17°3'48,6"
25	GKP 358 i 359°, 25m od trzonu wieży	0,3-2,0	<2.8*	<1,0*	<2.8*	6	0.21	51°4'16,1" 17°3'48,6"
26	GKP 358 i 359°, 45m od trzonu wieży	0,3-2,0	<2.8*	<1,0*	<2.8*	6	0.21	51°4'16,7" 17°3'48,6"
27	GKP 358 i 359°, 65m od trzonu wieży	0,3-2,0	<2.8*	<1,0*	<2.8*	6	0.21	51°4'17,3" 17°3'48,6"
28	PPP- na azymucie 86°, 8m od trzonu wieży	0,3-2,0	<1,0*	<1,0*	<1,0*	2.1	0.08	51°4'15,2" 17°3'49,1"
29	PPP- na azymucie 273°, 14m od trzonu wieży	0,3-2,0	<1,0*	<1,0*	<1,0*	2.1	0.08	51°4'15,2" 17°3'47,9"
-	GKP 225°, 150m od anten sektorowych	0,3-2,0	<1,0*	<1,0*	<1,0*	2.1	0.08	51°4'11,8" 17°3'43,2"
-	GKP 225°, 300m od anten sektorowych	0,3-2,0	<1,0*	<1,0*	<1,0*	2.1	0.08	51°4'8,4" 17°3'37,7"
-	GKP 315°, 150m od anten sektorowych	0,3-2,0	<1,0*	<1,0*	<1,0*	2.1	0.08	51°4'18,6" 17°3'43,2"
-	GKP 315°, 300m od anten sektorowych	0,3-2,0	<1,0*	<1,0*	<1,0*	2.1	0.08	51°4'22,0" 17°3'37,7"
-	GKP 150°, 860m od anten sektorowych	0,3-2,0	<1,0*	<1,0*	<1,0*	2.1	0.08	51°3'50,9" 17°4'08,9"

Sprawozdanie z badań bez pisemnej zgody laboratorium nie może być powielane inaczej niż w całości.
Wynik przedstawione w niniejszym sprawozdaniu odnoszą się wyłącznie do badanego obiektu i do warunków i konfiguracji urządzeń w dniu wykonywania pomiarów.

Pole magnetyczne (wyznaczone na podstawie pomiaru wartości natężenia pola elektrycznego)

Nr pionu	Opis umiejscowienia pionu (punktu pomiarowego)	Wysokość pomiaru [m]	Wartość natężenia pola magnetycznego H [A/m] ¹			Wartość natężenia pola magnetycznego po uwzględnieniu poprawek pomiarowych powiększona o niepewność pomiaru ⁴ H [A/m]	Wskaźnikowa wartość poziomu emisji pól elektromagnetycznych WM _H ³	Współrzędne geograficzne pionu (punktu pomiarowego) ²
			Sonda S-05	Sonda S-25	SUMA			
1	GKP 30°, 5m od trzonu wieży	0,3-2,0	<0.003*	<0.003*	<0.003*	0.006	0.08	51°4'15,4" 17°3'48,8"
2	GKP 30°, 25m od trzonu wieży	0,3-2,0	<0.003*	<0.003*	<0.003*	0.006	0.08	51°4'15,9" 17°3'49,3"
3	GKP 145 i 150°, 5m od trzonu wieży	0,3-2,0	<0.003*	<0.003*	<0.003*	0.006	0.08	51°4'15,1" 17°3'48,7"
4	GKP 145 i 150°, 25m od trzonu wieży	0,3-2,0	<0.003*	<0.003*	<0.003*	0.006	0.08	51°4'14,6" 17°3'49,2"
5	GKP 180 i 188°, 5m od trzonu wieży	0,3-2,0	<0.003*	<0.003*	<0.003*	0.006	0.08	51°4'15,1" 17°3'48,6"
6	GKP 180°, 20m od trzonu wieży	0,3-2,0	<0.003*	<0.003*	<0.003*	0.006	0.08	51°4'14,5" 17°3'48,6"
7	GKP 180°, 40m od trzonu wieży	0,3-2,0	<0.003*	<0.003*	<0.003*	0.006	0.08	51°4'13,8" 17°3'48,6"
8	GKP 188°, 20m od trzonu wieży	0,3-2,0	<0.003*	<0.003*	<0.003*	0.006	0.08	51°4'14,5" 17°3'48,5"
9	GKP 188°, 40m od trzonu wieży	0,3-2,0	<0.003*	<0.003*	<0.003*	0.006	0.08	51°4'13,8" 17°3'48,3"
10	GKP 188°, 60m od trzonu wieży	0,3-2,0	<0.003*	<0.003*	<0.003*	0.006	0.08	51°4'13,2" 17°3'48,2"
11	GKP 188°, 80m od trzonu wieży	0,3-2,0	<0.003*	<0.003*	<0.003*	0.006	0.08	51°4'12,5" 17°3'48,0"
12	GKP 225 i 238°, 5m od trzonu wieży	0,3-2,0	<0.003*	<0.003*	<0.003*	0.006	0.08	51°4'15,1" 17°3'48,5"
13	GKP 225°, 25m od trzonu wieży	0,3-2,0	<0.003*	<0.003*	<0.003*	0.006	0.08	51°4'14,7" 17°3'47,8"
14	GKP 225°, 45m od trzonu wieży	0,3-2,0	<0.003*	<0.003*	<0.003*	0.006	0.08	51°4'14,2" 17°3'47,1"
15	GKP 225°, 65m od trzonu wieży	0,3-2,0	<0.003*	<0.003*	<0.003*	0.006	0.08	51°4'13,7" 17°3'46,3"
16	GKP 225°, 85m od trzonu wieży	0,3-2,0	<0.003*	<0.003*	<0.003*	0.006	0.08	51°4'13,3" 17°3'45,6"
17	GKP 238°, 25m od trzonu wieży	0,3-2,0	<0.003*	<0.003*	<0.003*	0.006	0.08	51°4'14,8" 17°3'47,7"
18	GKP 238°, 45m od trzonu wieży	0,3-2,0	<0.003*	<0.003*	<0.003*	0.006	0.08	51°4'14,5" 17°3'46,8"
19	GKP 315°, 5m od trzonu wieży	0,3-2,0	<0.003*	<0.003*	<0.003*	0.006	0.08	51°4'15,3" 17°3'48,4"
20	GKP 315°, 25m od trzonu wieży	0,3-2,0	<0.003*	<0.003*	<0.003*	0.006	0.08	51°4'15,8" 17°3'47,7"
21	GKP 315°, 45m od trzonu wieży	0,3-2,0	<0.003*	<0.003*	<0.003*	0.006	0.08	51°4'16,2" 17°3'47,0"
22	GKP 315°, 65m od trzonu wieży	0,3-2,0	<0.003*	<0.003*	<0.003*	0.006	0.08	51°4'16,7" 17°3'46,2"

Sprawozdanie z badań bez pisemnej zgody laboratorium nie może być powielane inaczej niż w całości.
Wynik przedstawione w niniejszym sprawozdaniu odnoszą się wyłącznie do badanego obiektu i do warunków i konfiguracji urządzeń w dniu wykonywania pomiarów.

23	GKP 315°, 85m od trzonu wieży	0,3-2,0	<0.003*	<0.003*	<0.003*	0.006	0.08	51°4'17,1" 17°3'45,5"
24	GKP 358 i 359°, 5m od trzonu wieży	0,3-2,0	<u><0.007*</u>	<0.003*	<0.007*	0.016	0.22	51°4'15,4" 17°3'48,6"
25	GKP 358 i 359°, 25m od trzonu wieży	0,3-2,0	<u><0.007*</u>	<0.003*	<0.007*	0.016	0.22	51°4'16,1" 17°3'48,6"
26	GKP 358 i 359°, 45m od trzonu wieży	0,3-2,0	<u><0.007*</u>	<0.003*	<0.007*	0.016	0.22	51°4'16,7" 17°3'48,6"
27	GKP 358 i 359°, 65m od trzonu wieży	0,3-2,0	<u><0.007*</u>	<0.003*	<0.007*	0.016	0.22	51°4'17,3" 17°3'48,6"
28	PPP- na azymucie 86°, 8m od trzonu wieży	0,3-2,0	<0.003*	<0.003*	<0.003*	0.006	0.08	51°4'15,2" 17°3'49,1"
29	PPP- na azymucie 273°, 14m od trzonu wieży	0,3-2,0	<0.003*	<0.003*	<0.003*	0.006	0.08	51°4'15,2" 17°3'47,9"
-	GKP 225°, 150m od anten sektorowych	0,3-2,0	<0.003*	<0.003*	<0.003*	0.006	0.08	51°4'11,8" 17°3'43,2"
-	GKP 225°, 300m od anten sektorowych	0,3-2,0	<0.003*	<0.003*	<0.003*	0.006	0.08	51°4'8,4" 17°3'37,7"
-	GKP 315°, 150m od anten sektorowych	0,3-2,0	<0.003*	<0.003*	<0.003*	0.006	0.08	51°4'18,6" 17°3'43,2"
-	GKP 315°, 300m od anten sektorowych	0,3-2,0	<0.003*	<0.003*	<0.003*	0.006	0.08	51°4'22,0" 17°3'37,7"
-	GKP 150°, 860m od anten sektorowych	0,3-2,0	<0.003*	<0.003*	<0.003*	0.006	0.08	51°3'50,9" 17°4'08,9"

GKP – Główny Kierunek Pomiarowy
PPP – Pomocniczy Pion pomiarowy

¹ wyniki oznaczone * są wynikami poniżej czułości zestawu pomiarowego

² współrzędne geograficzne pozyskane metodą obliczeniową w oparciu o pomiar punktu referencyjnego

³ do wyznaczenia wartości wskaźnikowej W_{ME} i W_{MH} przyjęto na podstawie uzgodnień z klientem oraz rozpoznania źródeł, jako wartości dopuszczalne pola elektrycznego i magnetycznego odpowiednio 28 V/m i 0,073 A/m.

⁴ do wyznaczenia niepewności dla wyników poniżej czułości zestawu pomiarowego, przyjęto niepewność dla minimalnej wartości z zakresu pomiarowego.

⁵ maksymalna wartość chwilowa

Niepewność oszacowano zgodnie z dokumentem P-03 „Procedura nadzoru nad wyposażeniem” w postaci niepewności rozszerzonej wynikającej z niepewności standardowej pomnożonej przez współczynnik rozszerzenia $k=2$.

Całkowita szacowana niepewność rozszerzona składowej E wynosi odpowiednio:

sonda S-05: 29.1% dla częstotliwości do 3 GHz, sonda S-25: 26% dla częstotliwości do 3 GHz

Wyniki oznaczone podkreśleniem dotyczą pomiaru dla częstotliwości pola EM – 80 GHz, dla którego granica wykrywalności wynosi $<2.8^* \text{ V/m}$

Dla przedmiotowych pomiarów zlecniodawca określił poprawkę pomiarową = 1.65.

Umiejscowienie pionów (punktów) pomiarowych przedstawiono w nr 2 do niniejszego sprawozdania.

10. Omówienie wyników pomiarów

Wyniki pomiarów uzyskane zostały przy uwzględnieniu poprawek pomiarowych przekazanych przez zlecniodawcę, umożliwiających uwzględnienie maksymalnych parametrów pracy instalacji zlecniodawcy oraz innych operatorów występujących w obszarze pomiarowym.

W wyniku zastosowania sposobu sprawdzenia dotrzymania dopuszczalnych poziomów pól elektromagnetycznych w środowisku, zgodnie pkt 25 ppkt 1 Rozporządzenia Ministra Klimatu z dnia 17 lutego 2020 r. (Dz. U. 2020, poz. 258), w związku z tym, że żadna z wartości wskaźnikowych, udokumentowanych w tabelach w pkt. 9 nie przekracza wartości 1, stwierdza się, że w miejscach, w których wykonano pomiary w otoczeniu instalacji radiokomunikacyjnej 4597 (77025N!) JAGODNO TPW (PWR_WROCLAW_BUFOROWA), dopuszczalne poziomy pól elektromagnetycznych w środowisku należy uznać za dotrzymane.

Sprawozdanie z badań bez pisemnej zgody laboratorium nie może być powielane inaczej niż w całości.

Wynik przedstawione w niniejszym sprawozdaniu odnoszą się wyłącznie do badanego obiektu i do warunków i konfiguracji urządzeń w dniu wykonywania pomiarów.

11. Podstawa prawna

- 1) Ustawa z dnia 27 kwietnia 2001 r. Prawo ochrony środowiska (t. j. Dz. U. z 2020 r., poz. 1219 z późn.zm.)
- 2) Rozporządzenie Ministra Zdrowia z dnia 17 grudnia 2019 r. w sprawie dopuszczalnych poziomów pól elektromagnetycznych w środowisku (Dz. U. 2019, poz. 2448)
- 3) Rozporządzenie Ministra Klimatu z dnia 17 lutego 2020 r. w sprawie sposobów sprawdzania dotrzymania dopuszczalnych poziomów pól elektromagnetycznych w środowisku (Dz. U. 2020, poz. 258),
- 4) Akredytacja nr AB 419 wydana przez Polskie Centrum Akredytacji (wydanie 17, z dnia 13 stycznia 2021r.).

12. Spis załączników

- Załącznik 1. Lokalizacja obiektu badań
- Załącznik 2. Usytuowanie pionów (punktów) pomiarowych
- Załącznik 3. Dokumentacja fotograficzna obiektu badań

13. Data wydania i autoryzowania sprawozdania - 12 lutego 2021.

Obliczenia i sprawozdanie wykonał :

Sprawozdanie autoryzował:

NetWorkSI Sp. z o.o.
Starszy specjalista
ds. opracowywania sprawozdań
Laboratorium
Badań Środowiskowych



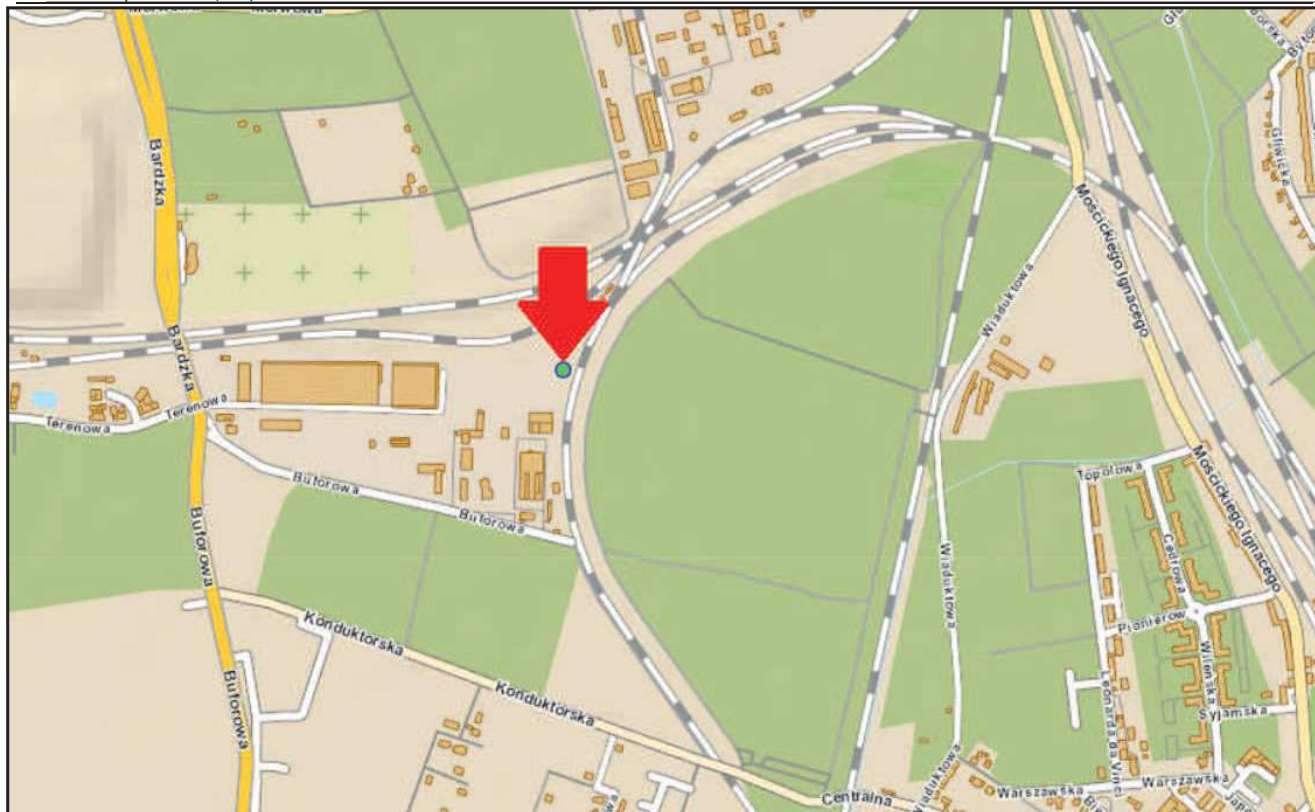
Magdalena Niewiadomska

NetWorkSI Sp. z o.o.
Starszy Specjalista ds. pomiarów
Laboratorium
Badań Środowiskowych



Koniec sprawozdania

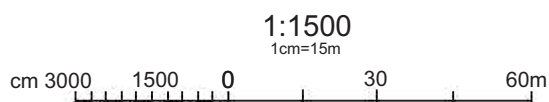
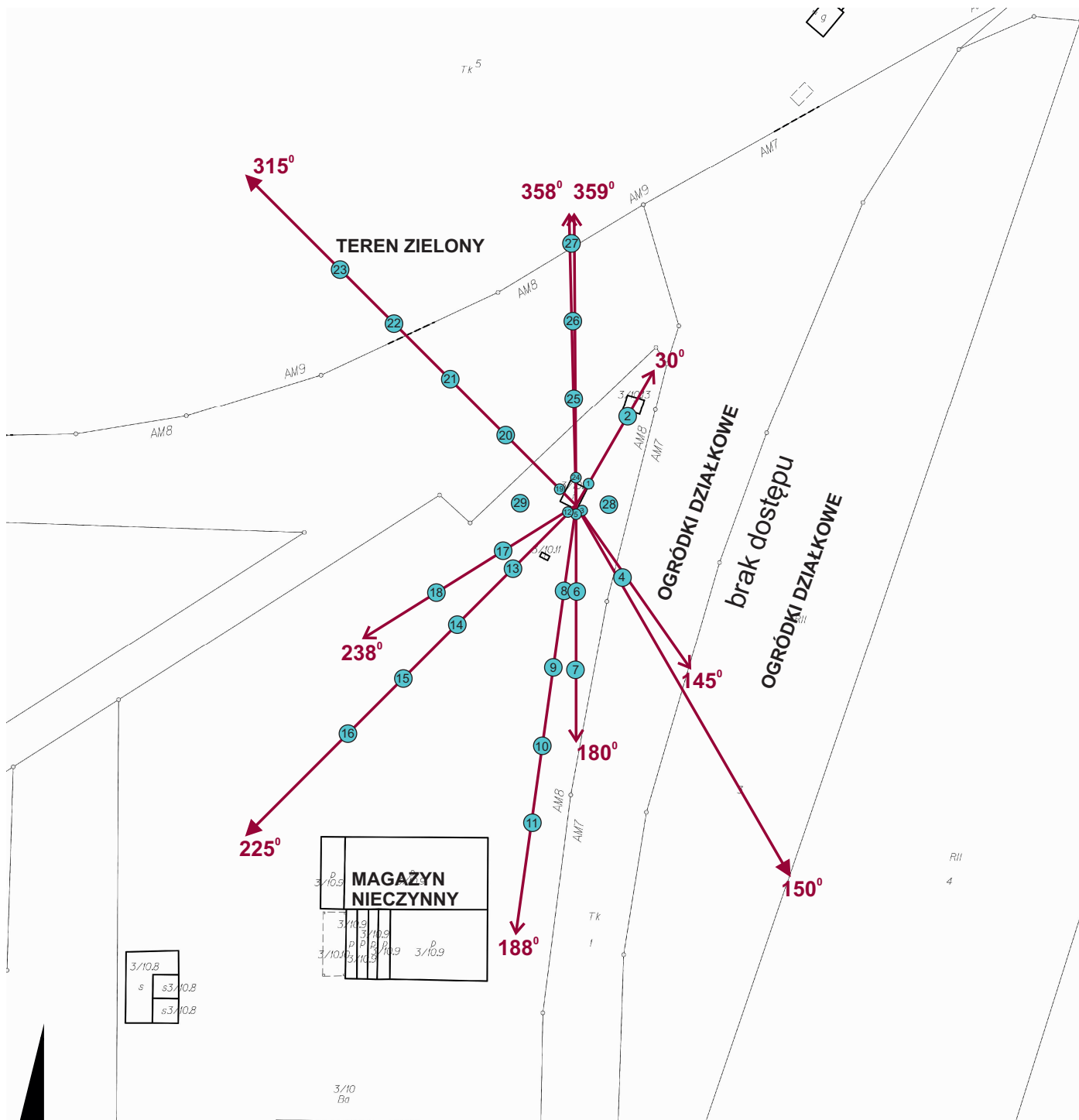
Sprawozdanie z badań bez pisemnej zgody laboratorium nie może być powielane inaczej niż w całości.
Wynik przedstawione w niniejszym sprawozdaniu odnoszą się wyłącznie do badanego obiektu i do warunków i konfiguracji urządzeń w dniu wykonywania pomiarów.




Załącznik nr 1

INSTALACJA RADIOKOMUNIKACYJNA Orange Polska S.A. 4597 (77025N!) JAGODNO TPW (PWR_WROCLAW_BUFOROWA)
Lokalizacja instalacji radiokomunikacyjnej

Sprawozdanie z badań bez pisemnej zgody laboratorium nie może być powielane inaczej niż w całości.
Wynik przedstawione w niniejszym sprawozdaniu odnoszą się wyłącznie do badanego obiektu i do warunków i konfiguracji urządzeń w dniu wykonywania pomiarów.



Załącznik nr 2	INSTALACJA RADIOKOMUNIKACYJNA Orange Polska S.A. 4597 (77025N!) JAGODNO TPW (PWR_WROCLAW_BUFOROWA) Usytuowanie pionów pomiarowych w otoczeniu instalacji radiokomunikacyjnej
SKALA 1:1500	Legenda:  Pion pomiarowy Kierunek oddziaływania anten sektorowych Kierunek oddziaływania anten radioliniowych

Sprawozdanie z badań bez pisemnej zgody laboratorium nie może być powielane inaczej niż w całości.
Wynik przedstawione w niniejszym sprawozdaniu odnoszą się wyłącznie do badanego obiektu i do warunków i konfiguracji urządzeń w dniu wykonywania pomiarów.



Załącznik nr 3

INSTALACJA RADIOKOMUNIKACYJNA Orange Polska S.A. 4597 (77025N!) JAGODNO TPW (PWR_WROCLAW_BUFOROWA)

Zdjęcia instalacji radiokomunikacyjnej

Sprawozdanie z badań bez pisemnej zgody laboratorium nie może być powielane inaczej niż w całości.
Wynik przedstawione w niniejszym sprawozdaniu odnoszą się wyłącznie do badanego obiektu i do warunków i konfiguracji urządzeń w dniu wykonywania pomiarów.